

Quellen: Thijssen, Computational Physics, Kap. 8
H. Watanabe et al., J. Chem. Phys. 136, 204102
(2012); arXiv: 1202.5369

Physikalische Fragestellung

Klassisches System von N Partikeln

Kasten mit Kantenlängen L_x, L_y, L_z $\vec{r} = x, y, z$

Newton - Bewegungsgleichungen

$$m \ddot{\vec{r}}_i = \vec{F}^{(a)}(\vec{r}_i) + \sum_{\substack{j=1 \\ j \neq i}}^N \vec{F}^{(w)}(\vec{r}_i - \vec{r}_j) = \vec{F}_i(\{\vec{r}_j\})$$

oder

$$m \ddot{\vec{r}}_i = \vec{F}^{(a)}(\vec{r}_i) + \sum_{\substack{j=1 \\ j \neq i}}^N \vec{F}^{(w)}(\vec{r}_i - \vec{r}_j)$$

$$\dot{\vec{r}}_i = \vec{v}_i$$

Wechselwirkungskräfte $\vec{F}^{(w)}(\vec{r}) = -\vec{\nabla} V(r)$

mit dem Lennard - Jones - Potential

$$V(r) = \varepsilon \left[\left(\frac{\sigma}{r} \right)^{12} - 2 \left(\frac{\sigma}{r} \right)^6 \right]$$

$$\Rightarrow \vec{F}^{(w)} = 12 \varepsilon \left[\left(\frac{\sigma}{r} \right)^{12} - \left(\frac{\sigma}{r} \right)^6 \right] \frac{\vec{r}}{r^2}$$

(2)

Wie sieht die Bewegung der Atome oder Moleküle für ein Gas, eine Flüssigkeit und einen Festkörper aus?

Beispiel: Argon $\sigma \hat{=} 3.822 \text{ \AA}$
 $\varepsilon = 119,8 \text{ K} \cdot k_B$

Für 63 Atome im Würfel mit Kantenlängen L

- Gas für $L = 180 \text{ \AA}$
und $T = 300 \text{ K}$
- Flüssigkeit für $L = 6 \cdot 3.8 \text{ \AA} = 22.8 \text{ \AA}$
und $T = 120 \text{ K}$
- Festkörper (Cluster) für $L = 22.8 \text{ \AA}$
und $T = 1 \text{ K}$

Typischer Zeitschritt $\Delta t = 10^{-14} \text{ s}$

Moderne Rechner : $\sim 10^6$ Teilchen
 (z. B. Watanabes Paper) $\sim 5 \cdot 10^6$ Zeitschritte
 $(\Rightarrow \text{Zeitintervall} \sim 5 \cdot 10^{-8} \text{ s})$
 $\rightarrow 8 \cdot 10^3 \text{ CPU Stunden}$

Weltrekord (Stand 2013) : $\sim 4 \cdot 10^{12}$ Teilchen
 mit SuperMUC Petascale System ($\sim 1,4 \cdot 10^5$
 Prozessorkerne benutzt) am Leibniz-Rechenzentrum
 (LRZ) in München

(3)

Math aufgabe

Lösung einer $6N$ -dimensionaler gewöhnlicher
Differentialgleichung 1. Ordnung

mit Anfangsbedingungen $\vec{r}_i(t_0), \vec{v}_i(t_0)$
(O.E.d.A. $t_0 = 0$)

Methoden

Allg. Grundidee: Diskretisierung der Zeit

→ Zeitpunkte $t_0, t_1, t_2, \dots, t_M$

• Zeitschritte $\Delta t_i = t_i - t_{i-1}$

O.E.d.A. $\Delta t_i = \Delta t$

• Näherung der Ableitungen durch endliche Differenzen

$$\textcircled{*} \text{ 1. Ableitung } \dot{\vec{r}}(t) = \lim_{\Delta t \rightarrow 0} \frac{\vec{r}(t + \Delta t) - \vec{r}(t)}{\Delta t}$$

$$= \lim_{\Delta t \rightarrow 0} \frac{\vec{r}(t + \frac{\Delta t}{2}) - \vec{r}(t - \frac{\Delta t}{2})}{\Delta t}$$

$$\Rightarrow \dot{\vec{r}}(t) \approx \frac{\vec{r}(t + \Delta t) - \vec{r}(t)}{\Delta t} + \mathcal{O}(\Delta t)$$

$$\text{Besser } \dot{\vec{r}}(t) \approx \frac{\vec{r}(t + \frac{\Delta t}{2}) - \vec{r}(t - \frac{\Delta t}{2})}{\Delta t} + \mathcal{O}(\Delta t^2)$$

$$\textcircled{*} \text{ 2. Ableitung } \ddot{\vec{r}}(t) \approx \frac{\vec{r}(t + \Delta t) + \vec{r}(t - \Delta t) - 2\vec{r}(t)}{\Delta t^2} + \mathcal{O}(\Delta t^2)$$

1. Methode Verlet - Algorithmus

$$\vec{r}_i(t + \Delta t) = 2\vec{r}_i(t) - \vec{r}_i(t - \Delta t) + \Delta t^2 \frac{\vec{F}_i(\{\vec{r}_j(t)\})}{m_i} + \mathcal{O}(\Delta t^4)$$

- Iterationsverfahren: $\vec{r}(t + \Delta t) = \mathcal{F}(\vec{r}(t), \vec{r}(t - \Delta t))$
- Geschwindigkeit wird nicht explizit benutzt aber kann leicht berechnet werden

$$\vec{v}_i(t) = \frac{\vec{r}_i(t + \Delta t) - \vec{r}_i(t - \Delta t)}{2\Delta t} + \mathcal{O}(\Delta t^2)$$

- Initialisierung

$$\vec{r}_i(t_0 + \Delta t) = \vec{r}_i(t_0) + \Delta t \vec{v}_i(t_0) + \frac{\Delta t^2}{2} \frac{\vec{F}_i(\{\vec{r}_j(t_0)\})}{m_i} + \mathcal{O}(\Delta t^2)$$

- Genauigkeit nach $M \sim \Delta t^{-1}$ Zeitschritten

$$\text{Änderung der Position} \sim M \Delta t^2 \sim \Delta t$$

$$\text{Fehler} \sim M \Delta t^4 \sim \Delta t^3$$

$$\Rightarrow \text{relative Genauigkeit} \sim \Delta t^2$$

- Rechenaufwand $\sim N^2$, Speicherbedarf $\sim 16N$

- Test der Genauigkeit: Energieerhaltung (ohne äußeres Pot.)

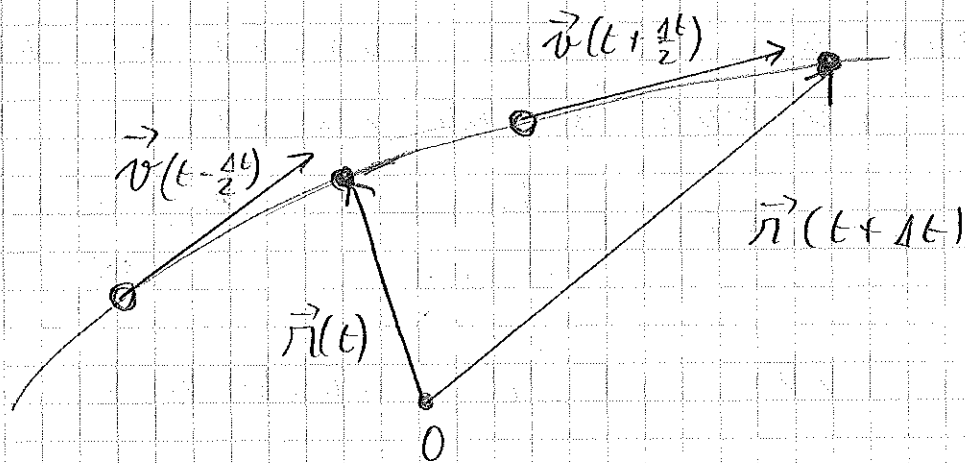
$$E(t) = \frac{m}{2} \sum_{i=1}^N \vec{v}_i(t)^2 + \frac{1}{2} \sum_{i < j=1}^N V(|\vec{r}_i - \vec{r}_j|)$$

2. Methode : Leap-Frog - Verfahren

(5)

Zuerst $\vec{v}_i(t + \frac{\Delta t}{2}) = \vec{v}_i(t - \frac{\Delta t}{2}) + \Delta t \frac{\vec{F}_i(\{\vec{r}_j(t)\})}{m}$

Dann $\vec{r}_i(t + \Delta t) = \vec{r}_i(t) + \Delta t \vec{v}_i(t + \frac{\Delta t}{2})$



Dieses Verfahren ist math. äquivalent zum Verlet - Algo. und besitzt ähnliche Eigenschaften. Jedoch

- Iterationsverfahren $\begin{pmatrix} \vec{r}(t + \Delta t) \\ \vec{v}(t + \frac{\Delta t}{2}) \end{pmatrix} = \mathcal{F} \begin{pmatrix} \vec{r}(t) \\ \vec{v}(t - \frac{\Delta t}{2}) \end{pmatrix}$

- Initialisierung $\vec{r}_i(t_0 + \frac{\Delta t}{2}) = \vec{r}_i(t_0) + \frac{\Delta t}{2} \vec{v}_i(t_0)$

- Stabiler als Verlet - Algo gegenüber Rundungsfehler der Gleitkommaarithmetik in Computern
- Kinetische und potentielle Energie werden zu verschiedenen Zeitpunkten berechnet \rightarrow Fluktuation der Gesamtenergie

3. Methode Velocity - (Verlet-) Algorithmus

(6)

$$\vec{r}_i(t+\Delta t) = \vec{r}_i(t) + \Delta t \vec{v}_i(t) + \frac{\Delta t^2}{2} \frac{\vec{F}_i(\{\vec{r}_j(t)\})}{m}$$

$$\vec{v}_i(t+\Delta t) = \vec{v}_i(t) + \Delta t \frac{\vec{F}_i(\{\vec{r}_j(t+\Delta t)\}) + \vec{F}_i(\{\vec{r}_j(t)\})}{2m}$$

Dieser Algorithmus ist math. äquivalent zum Leap-Frog-Verfahren und besitzt ähnliche Eigenschaften. Jedoch

- Iterationsverfahren $\begin{pmatrix} \vec{r}(t+\Delta t) \\ \vec{v}(t+\Delta t) \end{pmatrix} = \mathcal{F} \begin{pmatrix} \vec{r}(t) \\ \vec{v}(t) \end{pmatrix}$
- Kein Problem mit der Initialisierung
- Alle Energien können zur gleichen Zeit bestimmt werden
- Aber Kräfte müssen entweder
 - zweimal pro Zeitschritt berechnet werden
 \Rightarrow Rechenaufwand $2 \times$ größer als Leap-Frog
 - oder gespeichert werden
 \Rightarrow Speicherbedarf $\sim 9N$ (50% höher als Leap-Frog)

Anmerkungen

- Weitere spezialisierte Algorithmen werden angewandt
z.B. für geschwindigkeitsabhängige Kräfte wie Reibungskräfte und Lorentz-Kräfte
 - Im Prinzip, kann die G.D.G. mit der Runge-Kutta-Methode integriert werden. Mit der RK-Methode 4. Ordnung sind die Fehler pro Zeitschritt $\sim \Delta t^5$ und so kleiner als mit den vorherigen Methoden. Jedoch gibt es 2 Nachteile:
 - RK benutzt 4 Schritte für einen Zeitschritt Δt
 \Rightarrow 4 Berechnungen der Kräfte
 - Feste Zeitschritte ergeben schlechte Resultate mit RK und Δt muss für jeden Schritt angepasst werden
 \Rightarrow mehr Aufwand
- (Weil der RK-Algorithmus die Zeitumkehrinvarianz bricht?)

Randbedingungen

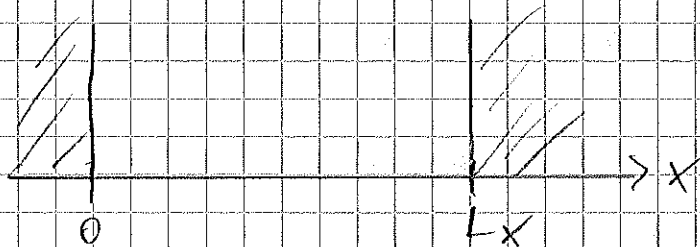
⑧

Simulation einer festen Anzahl von Teilchen in einem endlichen Volumen $V = L_x \cdot L_y \cdot L_z$

Kein Energieaustausch mit der Umgebung (außer mit äußeren Kräften vor Erreichen des Gleichgewichts)

\Rightarrow geschlossenes System

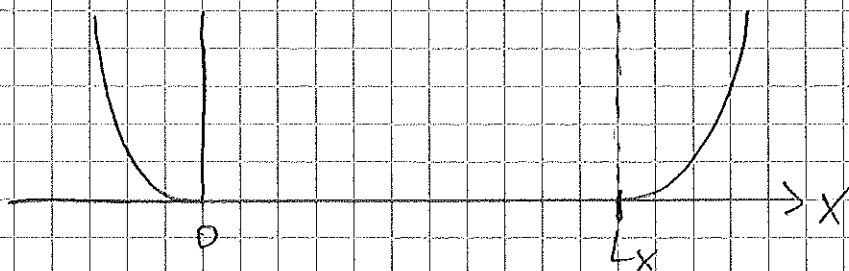
a) Harte Wände



$$V^{(a)}(x) = \begin{cases} 0 & \text{für } 0 < x < L_x \\ \infty & \text{sonst} \end{cases}$$

\Rightarrow Elastischer Stoß gegen die Wand
(s. VL über Harte Scheiben)

b) Weiche elastische Wände



$$V^{(a)}(x) = \begin{cases} \frac{K}{2} x^2 & \text{für } x < 0 \\ 0 & \text{für } 0 < x < L_x \\ \frac{K}{2} (x - L_x)^2 & \text{für } x > L_x \end{cases}$$

Für $K \rightarrow \infty$ ist diese Methode gleich mit harten Wänden.

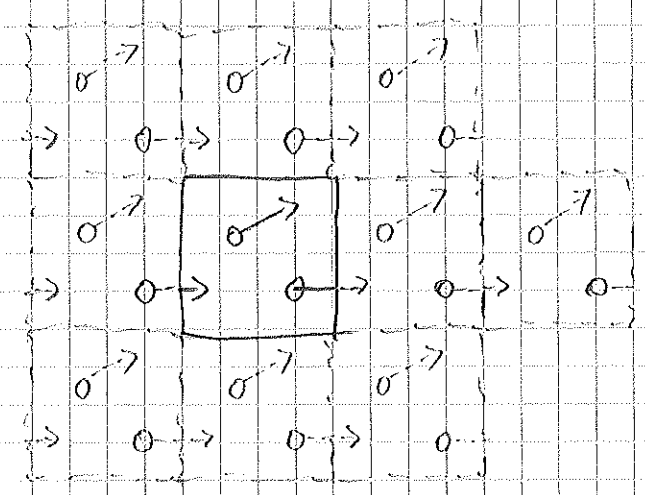
- Vorteile:
- Keine Unstetigkeit
 - Druck gegen die Wand kann für jede Zeit t genau bestimmt werden. z.B. für y -Wand bei $x=0$

$$P = \frac{K}{L_y L_z} \sum_{i=1}^N x_i \Theta(-x_i)$$

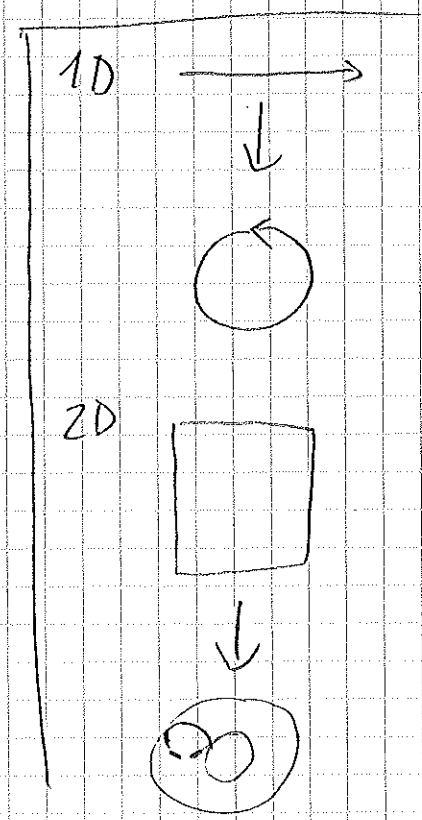
mit der Heaviside-Funktion $\Theta(x) = \begin{cases} 0 & \text{falls } x < 0 \\ 1 & \text{falls } x \geq 0 \end{cases}$

- Nachteile:
- variables Volumen
 - Wahl der Federkonstante K
 - Gesamtenergie hängt von der Arbeit des Systems gegen die Wände

c) Periodische Randbedingungen



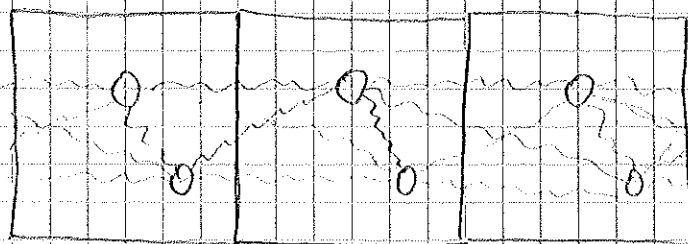
Unendliche viele Kopien des Systems



- Umsetzung :
- Berechnung eines Zeitschritts $\rightarrow X(t)$
 - Falls $X(t) > L_x$, $X(t) \rightarrow X(t) - L$
 - Falls $X(t) < 0$, $X(t) \rightarrow X(t) + L$

- Vorteile :
- Randeffekte verschwinden vollständig für hinreichend weite Wechselwirkungen
 - Finite-size-scaling (\equiv Konvergenz mit zunehmender Teilchenzahl N beim festen Volumen V) ist einfacher

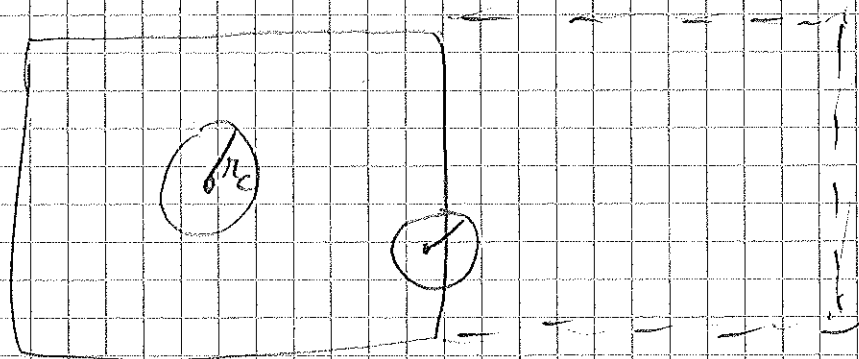
- Nachteile :
- Gesamtimpuls \vec{P} und Gesamtdrehimpuls \vec{L} werden erhalten falls es keine äußere Kräfte gibt \Rightarrow Initialisierung mit $\vec{P} = 0$, $\vec{L} = 0$
 - Problem mit der Wechselwirkung :
Jedes Teilchen wechselwirkt mit unendlich vielen Kopien des Teilchen (einschließlich eigenen Kopien)



- Für kurzreichweitige Wechselwirkungen wie das Lennard-Jones-Potential ist es kein Problem. Man wählt einen Radius R_c so dass die Kraft zwischen 2 Teilchen vernachlässigbar klein für $|\vec{r}_i - \vec{r}_j| > R_c$ ist. Dann ersetzt man das Potential $V(r)$ durch ein Potential $V_c(r)$, das ist

$$V_c(r) = \begin{cases} V(r) & \text{für } r < R_c \\ 0 & \text{für } r > R_c \end{cases}$$

aber $V_c(r)$ sollte auch stetig um R_c bleiben. Natürlich muss $R_c < \frac{1}{2}L_x, \frac{1}{2}L_y, \frac{1}{2}L_z$ sein. Dann wechselwirkt jedes Teilchen mit höchstens einer Kopie jeder anderen Teilchen



- Für langreichweitige Wechselwirkungen (Coulomb-Potential, Gravitationspotential) ist es viel schwieriger.
→ Buch von Thijssen